

技术方法

一种结合低秩与稀疏惩罚的PET动态图像重建方法

魏夏平^{1,3}, 江学文², 马晓勉¹, 路利军¹¹南方医科大学生物医学工程学院, 广东 广州 510515; ²烟台毓璜顶医院核医学科, 山东 烟台 264000; ³广东省人民医院//广东省医学科学院肿瘤中心放疗科, 广东 广州 510080

摘要:目的 提出一种结合低秩与稀疏惩罚的PET动态图像重建方法(L&S)。方法 建立L&S重建模型,利用split Bregman法来最优化解代价函数。采用单房室模型仿真一套PET心肌82Rb灌注图像,将L&S重建方法与最大似然期望值法(MLEM)、低秩惩罚和稀疏惩罚重建方法比较。结果 L&S方法重建的图像的均方误差(MSE)最小,并且保留了更多图像特征。另外L&S重建得到的靶心图和参考组的靶心图最相近。结论 L&S重建方法无论是在直观视觉上,还是定量分析上都优于另外3种方法。

关键词:低秩;稀疏;重建;心肌灌注

Reconstruction of dynamic positron emission tomographic images by exploiting low rank and sparse penalty

WEI Xiaping^{1,3}, JIANG Xuewen², MA Xiaomian¹, LU Lijun¹¹School of Biomedical Engineering, Southern Medical University, Guangzhou 510515, China; ²Department of Nuclear Medicine, Yantai Yuhuangding Hospital, Yantai 264000, China; ³Department of Radiology, Cancer Center, Guangdong General Hospital/Guangdong Academy of Medical Science, Guangzhou 510080, China

Abstract: Objective To propose a new method for dynamic positron emission tomographic (PET) image reconstruction using low rank and sparse penalty (L&S). **Methods** The L&S reconstruction model was established and the split Bregman method was used to solve the optimal cost function. The one-tissue compartment model was used to simulate a set of PET 82Rb myocardial perfusion image. The L&S reconstruction method was compared with maximum likelihood expectation maximization (MLEM) method, low-rank penalty method and sparse penalty method. **Results** The L&S reconstruction method had the smallest MSE and well maintained the feature information. The polar map created by L&S method was the most similar with the reference actual polar map. **Conclusion** L&S reconstruction method is better than the other three methods in both visual and quantitative analysis of the PET images.

Key words: low rank; sparse; reconstruction; myocardial perfusion

与传统的SPECT心肌成像相比,PET心肌灌注成像可以提高诊断准确性,更好地确认病灶位置,还能定量分析心脏血流^[1-2]。尤其是PET动态心肌灌注成像还能测量心肌区域放射性药物的生物分布^[3-4],这就使得估计动力学参数[例如示踪剂输送速率参数K₁和心肌血流量(MBF)]变得非常有意义。然而,PET动态心肌灌注成像主要还处于研究阶段,临床上还缺乏应用。主要的问题是将数据细分到短帧时,会带入噪声,从而影响心肌绝对血流的定量。传统上,标准的动态PET成像由单独的帧独立重建得到,然后在体素或ROI水平上运用

动力学模型得到时间活度曲线(TAC)。独立图像重建主要靠统计图像重建方法实现,例如最大似然期望值法(MLEM)^[5]。然而,当在低计数情况下,直接采用MLEM算法方差很大^[6]。而且方差还会随着采样间隔的增大而增大。有人提出利用PET图像的稀疏特性的重建算法^[7]。例如在PET动态图像重建中加入全变分正则约束。这种方法不论是在图像空间^[8-9],还是在测度空间^[10]上都得到了应用。另外多维小波去噪可以恢复隐藏在动态PET图像中的生物信号保真度,从而准确的定量心肌灌注。学者Su和Shoghi在2008提出小波降噪技术^[11],它对噪声敏感度低,在高噪声水平下可以提供更加准确的参数估计。

最近,有研究者提出了利用矩阵的低秩性质恢复图像。该研究首先在动态核磁共振成像^[12-13]上受到关注,学者Lingala等^[14-15]将其与稀疏先验结合分别运用到磁共振图像的恢复和重建上。在动态PET心肌灌注成像上,连续的图像之间有高度相关的冗余信息,这使得图

收稿日期:2015-04-06

基金项目:国家自然科学基金(81501541);广东省自然科学基金(2014A030310243);教育部高等学校博士学科专项科研基金(20134433120017);广东省医学科研基金(B2014240)

Supported by National Natural Science Foundation of China (81501541).

作者简介:魏夏平,硕士研究生, E-mail: wei-xia-ping@163.com

通信作者:路利军,博士,讲师, E-mail: ljlubme@gmail.com

像矩阵有很好的低秩性。另外在图像某些部分,含有血流灌注信息,这部分是稀疏的。因此,本文在动态PET心肌灌注成像上提出一种结合低秩与稀疏惩罚的重建方法(L&S)。我们利用split Bregman算法求解凸最优化问题,并利用真实的PET心肌⁸²Rb灌注成像来最优化正则化参数。我们在成像视觉上 and 信噪比上对L&S方法做了评估。同时我们将该算法与传统的MLEM算法以及单独利用稀疏或低秩惩罚的算法进行了比较。

1 材料和方法

1.1 动态⁸²RbPET心肌灌注仿真数据

在我们的仿真研究中,我们选用单房室模型,如图1所示,其中 K_1 (mL/min/g), k_2 (1/min)为2个标准的动力学参数。左边红色框内的是动脉血,右边蓝色框内的是心肌组织,放射示踪物以 K_1 的速率从动脉血进入心肌组织,并以反馈速率 k_2 从心肌组织流回动脉血^[16-17]。

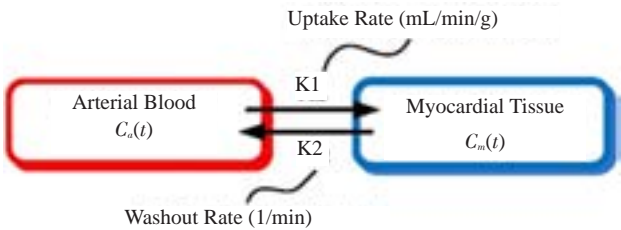


图1 动态⁸²Rb PET心肌灌注单房室模型

Fig.1 One-tissue compartment model for kinetic modeling of ⁸²Rb MP PET imaging.

这两个速率常数与动脉和心肌组织中的放射性活度成线性相关。动态过程可以通过如下方程描述:

$$\frac{dC_m(t)}{dt} = K_1 C_a(t) - k_2 C_m(t) \quad (1)$$

其中 $C_a(t)$ 和 $C_m(t)$ 分别是动脉血和心肌中⁸²Rb的浓度。通过测定左心室(LV)中心一小区域的⁸²Rb的浓度获得 $C_{LV}(t)$,这是一种非侵入方法,几乎可以完全恢复动脉输入曲线,并最大限度减少心肌溢出($C_a(t) = C_{LV}(t)$)。而且,如果定义 F_a 为组织中的血浆体积分数,那么心肌中的放射示踪物浓度可以表示成:

$$C(t) = F_a C_a(t) + (1 - F_a) C_m(t) \quad (2)$$

其中, F_a 是0至1之间的实数,代表整个血液中的体积分分数,包括:

(a)由于PET采样时的部分容积效应从血池进入心肌的

(b)肌肉中的动脉血

对方程(1)和(2)求解可以得到如下结果:

$$C(t) = F_a C_a(t) + (1 - F_a) K_1 e^{-k_2 t} \otimes C_a(t) \quad (3)$$

其中, \otimes 是卷积算子。

首先为多个区域(心肌,肺等)各自估计 K_1, k_2 常数和 F_a ,然后求其平均值。动脉血放射示踪物浓度 $C_a(t)$ 通过计算动脉血采样的平均值得到。利用XCAT体模^[18],根据(3)式便可以生成一套动态PET心肌灌注图像。如图2所示,图2A给出了 K_1 参数图像,图2B为采用单房室模型产生的时间活度曲线(TAC)。我们在2 min内采样10帧(10×12 s),这是心肌灌注PET成像的常规采样协议。

1.2 PET仿真断层成像

我们仿真了GE的RX PET/CT scanner型号扫描器^[19]。仿真器产生无噪声投影数据,该数据经过放大,添加泊松噪声达到真实的临床噪声水平。仿真过程考虑了衰减,正则化的影响,这些影响都包含入了再重建过程。将得到的数据分别采用MLEM、低秩惩罚、稀疏惩罚和L&S四种方法重建。其中MLEM算法,经过63次迭代得到(等于用OSME算法,21个子集,3次迭代重建^[19])的动态图像是128×128×47的三维矩阵,体像素大小为3.27 mm×3.27 mm×3.27 mm。

1.3 低秩矩阵的恢复

将低秩矩阵 X 从观测矩阵 M 恢复的问题,如(4)式所示,其中 M 是包含误差 E 的矩阵($M = X + E$)。

$$\min_X \frac{1}{2} \|X - M\|_F^2 + \lambda \text{rank}(X) \quad (4)$$

其中 $\text{rank}(X)$ 代表矩阵 X 的秩, $\|\cdot\|_F$ 为F-范数, λ 是超参数,用来平衡第一项(保真项)和第二项(惩罚项)。直接求(4)式中目标函数的极小值是很困难的,因为里面包含秩惩罚。为了简化计算,将秩惩罚用核范数 $\|X\|_*$ 表示,

$$\|X\|_* = \sum_i \sigma_i \quad (5)$$

其中 σ_i 是矩阵 X 的奇异值。经过这样的松弛处理,低秩矩阵 X 的恢复可以简化为:

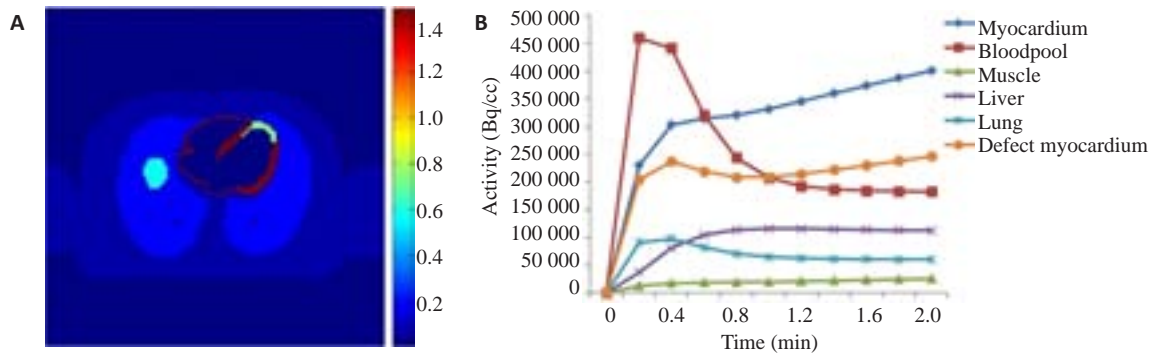
$$\min_X \frac{1}{2} \|X - M\|_F^2 + \lambda \|X\|_* \quad (6)$$

1.4 L&S模型重建PET动态灌注图像

对于PET动态心肌灌注成像,令 x^t 表示第 t 帧图像的示踪剂活度, $t = 1, 2, \dots, T$, T 是动态图像总帧数, x_j^t 表示第 t 帧第 j 个体素的示踪剂活度, $j = 1, 2, \dots, N$, N 为体素的总个数。由此,我们可以构造矩阵:

$$X = \begin{pmatrix} x_1^1 & x_1^2 & \cdots & x_1^T \\ x_2^1 & x_2^2 & \cdots & x_2^T \\ \vdots & \vdots & \ddots & \vdots \\ x_N^1 & x_N^2 & \cdots & x_N^T \end{pmatrix} \quad (7)$$

其中, $X \in \mathbb{R}^{N \times T}$ 代表所有的动态帧图像。矩阵 X 的每一列表示相应帧图像的示踪剂活度,每一行表示对应体素的时间活度曲线(TAC)。矩阵 X 实际上是背景部分和动态部分的叠加。背景部分代表帧或区域之间高度相

图2 K₁参数图像和采用单房室模型产生的时间活性曲线(TAC)Fig.2 K₁ parametric image(A) and TACs generated using one-tissue compartmental model(B).

关的部分(例如肌肉组织和肺),这部分的示踪剂活度随时间变化缓慢,可以将其看作低秩部分(L)。动态部分代表帧或区域之间变化的部分(例如心肌和血池),这部分的示踪剂活度随时间快速变化,是稀疏的(S)。因此我们在动态PET心肌灌注成像上同时引入低秩和稀疏惩罚,即L&S模型。求解过程可以表示成对一个凸优化问题的求解^[14-15]。

$$\min_x \frac{1}{2} \|X - M\|_F^2 + \mu_L \phi(X) + \mu_S \varphi(X) \quad (8)$$

其中, μ_L 和 μ_S 是相关的正则化参数, $\phi(X)$ 是谱惩罚项,将其用p-范数表示,定义为 $\phi(X) = (\sum_i \sigma_i^p)^{\frac{1}{p}}$, 用来惩罚小的奇异值。当 $p < 1$ 时,该惩罚项为非凸的范数,例如 Lingala 选择 $p=0.1$ 的谱惩罚^[14]。这里,我们选择 $p=1$,将其简化为核范数。 $\varphi(X)$ 定义表示时间空间的全变分项,也就是矩阵在 x, y, t 方向的梯度的1-范数,通过有限差分估计,定义如下:

$$\varphi(X) = \left\| \left(\sum_{i=0}^2 \|\Phi_i^T X \Psi_i\|_F^2 \right)^{\frac{1}{2}} \right\|_1 \quad (9)$$

其中, $\Phi_0 = D_x$, $\Phi_1 = D_y$, $\Phi_2 = I$, $\Psi_0 = I$, $\Psi_1 = D_t$, I 是单位矩阵, D_x, D_y, D_t 是分别沿 x, y, t 方向的有限差分。

1.5 最优化方法

本文采用 split Bregman 法^[20-21]来最优化(8)式中的代价函数,它本质上来说是一种增广拉格朗日法。(8)式中代价函数的求解可以通过下列迭代实现:

$$X^{k+1} = \arg \min \|X - M + Z^k\|_F^2 + \beta_1 \|X - E^k + L^k\|_F^2 + \beta_2 \sum_{i=0}^2 \|\Phi_i^T X \Psi_i - S_i^k + V_i^k\|_F^2 \quad (10)$$

$$E^{k+1} = \arg \min \|X^{k+1} + L^k - E\|_F^2 + 2\mu_L / \beta_1 \|E\|_* \quad (11)$$

$$S^{k+1} = \arg \min \sum_{i=0}^2 \|\Phi_i^T X^{k+1} \Psi_i - S_i + V_i^k\|_F^2 + 2\mu_S / \beta_2 \left\| \left(\sum_{i=0}^2 \|S_i\|_F^2 \right)^{\frac{1}{2}} \right\|_1, i=0, 1, 2 \quad (12)$$

$$L^{k+1} = L^k + X^{k+1} - E^{k+1} \quad (13)$$

$$V_i^{k+1} = V_i^k + \Phi_i^T X^{k+1} \Psi_i - S_i^{k+1}; i=0, 1, 2. \quad (14)$$

$$Z^{k+1} = Z^k + X^{k+1} - M \quad (15)$$

2 结果

为比较前面提到的不同重建方法的效果,我们比较了定量评价标准。均方误差定义为:

$$MSE_{ROI} = Bias_{ROI}^2 + Var_{ROI} \quad (16)$$

其中,

$$Bias_{ROI}^2 = \frac{\sum_{j=1}^N (\bar{x}_j - x_j^{true})^2}{\sum_{j=1}^N (x_j^{true})^2} \quad (17)$$

$$Var_{ROI} = \frac{1}{R} \frac{\sum_{r=1}^R \sum_{j=1}^N (x_j^r - \bar{x}_j)^2}{\sum_{j=1}^N (x_j^{true})^2} \quad (18)$$

R 是方差实现的总数(我们的仿真中 $R=30$), N 是 ROI 中的体素个数, $\bar{x}_j = \frac{1}{R} \sum_{r=1}^R x_j^r$ 代表 PET 图像在第 j 个体素点的总平均值, x_j^r 代表在指定 ROI 第 j 个体素经过 r 次重建, x_j^{true} 代表参考组中第 j 个体素点的真实的 PET 图像值。为了比较不同重建算法的性能,对每一帧动态图像计算其均方误差(MSE),如图3所示,横坐标是帧,纵坐标是每个重建算法对应的帧的 MSE。从图中可以明显地看出 MLEM 方法每一帧图像的 MSE 值都明显大于其它3种算法。采用低秩惩罚(L)重建的图像的 MSE 要小于采用稀疏惩罚(S)重建的图像的 MSE。我们提出的 L&S 方法重建的图像的 MSE 是所有方法中最小的。

为了提供直接视觉比较,图4是给出了上述4种算法重建的图像。这些图像是4D动态PET心肌图像第26层断层图像的第10帧。从图中可以清楚地看到 MLEM 算法与稀疏惩罚(S)大幅增加了噪声水平,低秩惩罚(L)和 L&S 方法明显降低了噪声水平。与低秩惩罚(L)重建相比, L&S 重建保留了更多图像特征。

此外,为了评价心肌缺损,我们还生成了左心室靶心图^[22]。我们采用美国心脏协会的17段模型,它更适合评价室壁运动和心肌灌注^[23]。图5显示了不同重建算法得到的第10帧图像的17段靶心图。通过比较,我们可以发现 L&S 方法生成的靶心图的和参考组的真实靶心图最相近。我们可以清楚地看到与其它重建方法

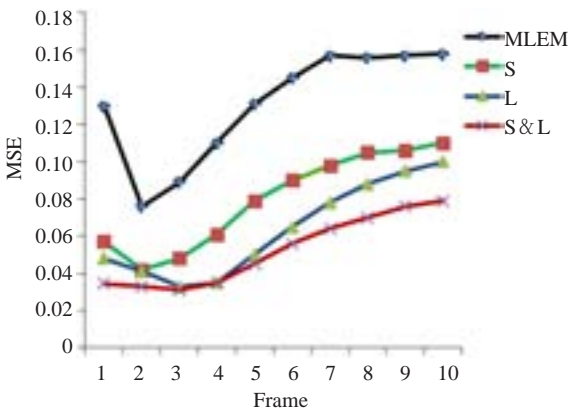


图3 不同重建算法对应帧的MSE

Fig.3 Plots of MSE vs frame number for reconstructed images by MLEM (black), sparse penalty(green), Low rank penalty (blue) and L&S (red) algorithm.

3 讨论

本文提出了一种结合低秩与稀疏惩罚的(L&S)动态PET心肌灌注图像的重建方法。该方法可以表述为一个凸最优化问题。我们采用split Bregman 算法求解这个问题。我们用单房室模型仿真了一套动态PET心肌灌注图像,利用真实的动态PET心肌灌注成像来最优化正则化参数。本文提出的L&S重建算法得到的每帧动态图像的MSE是前面提到的算法中最小的。L&S重建不仅降低了图像噪声,而且保留了更多图像特征。此外比较不同算法重建的图像的靶心图,可以发现L&S方法生成的靶心图的灰度值和参考组的真实靶心图最相近,无论是在正常心肌区域的还是缺损部分,与参考靶心图的偏差都最小。

总之,我们提出的L&S重建算法得到的图像,无论是在直观视觉上,还是定量分析上都优于另外3种方法。

相比,L&S重建图像的靶心图无论是在正常心肌区域的还是缺损部分,与参考靶心图的偏差都最小。

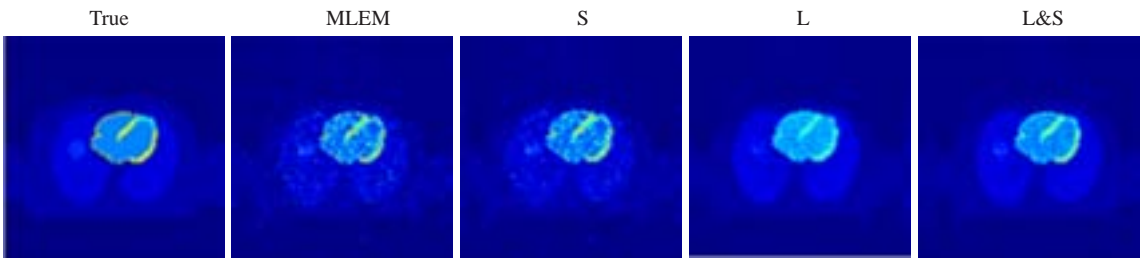


图4 从左到右依次是真实图像(True)以及通过MLEM,稀疏惩罚(S)、低秩惩罚(L)和L&S重建得到的图像

Fig.4 Raw image and reconstructed images by MLEM, sparse penalty, low rank penalty and L&S algorithm.

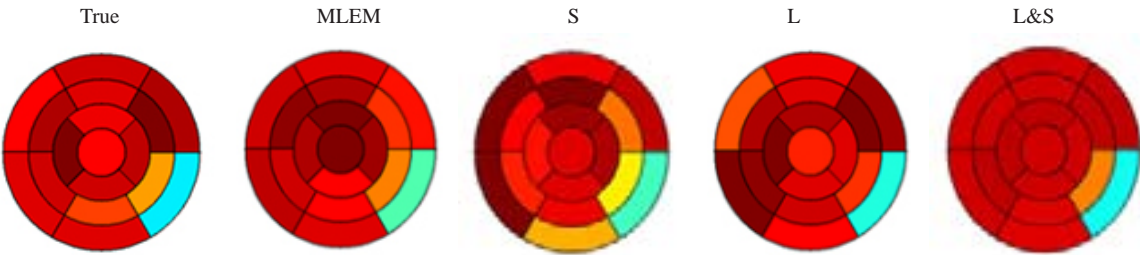


图5 从左到右依次是真实图像(True)的靶心图以及通过MLEM,稀疏惩罚(S)、低秩惩罚(L)和L&S算法重建得到的图像的靶心图

Fig.5 Polar map of the raw image and reconstructed images by MLEM, sparse penalty, Low rank penalty and L&S algorithm. All the polar maps were shown in the same color bar.

参考文献:

[1] Sampson UK, Dorbala S, Limaye A, et al. Diagnostic accuracy of rubidium-82 myocardial perfusion imaging with hybrid positron emission tomography/computed tomography in the detection of coronary artery disease[J]. J Am Coll Cardiol, 2007, 49(10): 1052-8.

[2] Bateman TM, Heller GV, Mcghie AI, et al. Diagnostic accuracy of rest/stress ECG-gated Rb-82 myocardial perfusion PET: comparison with ECG-gated Tc-99m sestamibi SPECT[J]. J Nucl Cardiol, 2006, 13(1): 24-33.

[3] Coxson PG, Huesman RH, Borland L. Consequences of using a simplified kinetic model for dynamic PET data[J]. J Nucl Med, 1997, 38(4): 660-7.

[4] El Fakhri G, Sitek A, Guérin B, et al. Quantitative dynamic cardiac 82Rb PET using generalized factor and compartment analyses[J]. J Nucl Med, 2005, 46(8): 1264-71.

[5] Mumcuoglu EU, Leahy RM, Cherry SR. Bayesian Reconstruction of PET images: methodology and performance analysis[J]. Phys Med Biol, 1996, 41(9): 1777-807.

- [6] Reader AJ, Zaidi H. Advances in PET image Reconstruction [J]. PET Clin, 2007, 2(2): 173-90.
- [7] Shidahara M, Ikoma Y, Kershaw J, et al. PET kinetic analysis: wavelet denoising of dynamic PET data with application to parametric imaging[J]. Ann Nucl Med, 2007, 21(7): 379-86.
- [8] Wang CY, Hu ZH, Shi PC, et al. Low dose PET Reconstruction with total variation regularization [C]//2014 36TH Annual international conference of the IEEE engineering in medicine and biology society (EMBC), 2014: 1917-20.
- [9] Mehranian A, Rahmim A, Ay MR, et al. An ordered-subsets proximal preconditioned gradient algorithm for total variation regularized PET image Reconstruction [C]//Nuclear Science Symposium and Medical Imaging Conference, 2012: 3375-82.
- [10] Burger M, Mueller J, Papoutsellis E, et al. Total variation regularization in measurement and image space for PET Reconstruction[J]. Inverse Probl, 2014, 30(10): 105003.
- [11] Su Y, Shoghi KI. Wavelet denoising in voxel-based parametric estimation of small animal PET images: a systematic evaluation of spatial constraints and noise reduction algorithms [J]. Phys Med Biol, 2008, 53(21): 5899-915.
- [12] Zhao B, Haldar JP, Brinegar C, et al. Low rank matrix recovery for real-time cardiac mri [C]//2010 7TH IEEE international symposium on biomedical imaging: From Nano To Macro, 2010: 996-9.
- [13] Haldar JP, Liang ZP. Spatiotemporal imaging with partially separable functions: a matrix recovery approach [C]//2010 7TH IEEE international symposium on biomedical imaging: From Nano To Macro, 2010: 716-9.
- [14] Lingala SG, Hu Y, Dibella E, et al. Accelerated dynamic MRI exploiting sparsity and low-rank structure: k-t SLR [J]. IEEE Trans Med Imaging, 2011, 30(5): 1042-54.
- [15] Zhao B, Haldar JP, Christodoulou AG, et al. Image Reconstruction from highly undersampled (k, t)-space data with joint partial separability and sparsity constraints [J]. IEEE Trans Med Imaging, 2012, 31(9): 1809-20.
- [16] Rahmim A, Tang J, Mohy-Ud-Din H. Direct 4D parametric imaging in dynamic myocardial perfusion PET [J]. Frontiers in Biomedical Technologies, 2014, 1(1): 4-13.
- [17] Mohy-Ud-Din H, Karakatsanis NA, Lodge MA, et al. Parametric myocardial perfusion PET imaging using physiological clustering [C]. Proc of Spie, 2014, 9038: 1-11.
- [18] Segars WP, Mahesh M, Beck TJ, et al. Realistic CT simulation using the 4D XCAT phantom [J]. Med Phys, 2008, 35(8): 3800-8.
- [19] Kemp BJ, Kim C, Williams JJ, et al. NEMA NU 2-2001 performance measurements of an LYSO-based PET/CT system in 2D and 3D acquisition modes [J]. J Nucl Med, 2006, 47(12): 1960-7.
- [20] Osher S, Burger M, Goldfarb D, et al. An iterative regularization method for total variation-based image restoration [J]. Multiscale Modeling Simulation, 2005, 4(2): 460-89.
- [21] Goldstein T, Osher S. The split bregman method for L1-Regularized problems [J]. SIAM J Imaging Sci, 2009, 2(2): 323-43.
- [22] Cerqueira MD, Weissman NJ, Dilsizian V, et al. Standardized myocardial segmentation and nomenclature for tomographic imaging of the heart. A statement for healthcare professionals from the Cardiac Imaging Committee of the Council on Clinical Cardiology of the American Heart Association [J]. Circulation, 2002, 105(4): 539-42.
- [23] Lin GS, Hines HH, Grant G, et al. Automated quantification of myocardial ischemia and wall motion defects by use of cardiac SPECT polar mapping and 4-dimensional surface rendering [J]. J Nucl Med Technol, 2006, 34(1): 3-17.

(编辑:孙昌朋)